

## 급격산화법에 의해 제조된 $\delta$ -FeOOH의 열분해과정

박영도 · 이훈하 · 김태옥

부산대학교 무기재료공학과

(1994년 9월 12일 접수)

### The Thermal Decomposition Process of $\delta$ -FeOOH Prepared by Rapid Oxidation Method

Young-Do Park, Hun-Ha Lee and Tae-Ok Kim

Dept. of Inorganic Materials Engineering, Pusan National University

(Received September 12, 1994)

#### 요약

$\text{FeCl}_2 \cdot 4\text{H}_2\text{O}$ 와  $\text{NaOH}$ 의 침전물인  $\text{Fe}(\text{OH})_2$ 를  $\text{H}_2\text{O}_2$ 로 급격히 산화시켜 얻은  $\delta$ -FeOOH를 고배율의 STEM을 사용하여  $\delta$ -FeOOH상의 입자크기, 표면 및 형태 그리고  $\delta$ -FeOOH상의 열분해 산물의 형태 및 구조 등을 조사하였다.  $\text{Fe}(\text{OH})_2$ 의 반응온도가  $40^\circ\text{C}$ ,  $[\text{OH}^-]/[\text{Fe}^{2+}] = 5$  그리고  $\text{Fe}(\text{OH})_2$ 의 숙성시간을 2 hr으로 했을 때 제조된  $\delta$ -FeOOH의 평균입경은  $630\text{\AA}$ , aspect ratio가 4~5, 그리고 포화자화 및 보자력이 각각 20.8 emu/g, 210 Oe이었다.  $\delta$ -FeOOH의 모서리면은  $\delta$ -FeOOH의 (001)과  $41^\circ$ ,  $60^\circ$  경사져 있으며 각각  $\delta$ -FeOOH의 (102)와 (101)에 해당된다.  $\delta$ -FeOOH가  $250^\circ\text{C}$ 에서 2 hr 진공열처리되었을 때 0.9 nm 두께의 micropores 및 2.4 nm의 결정자 두께를 가지는 microporous texture 형상의  $\alpha$ - $\text{Fe}_2\text{O}_3$ 로 열분해되어,  $\delta$ -FeOOH의  $(001)_{\text{hex}}$ ,  $[1\bar{1}0]_{\text{hex}}$ 은 각각  $\alpha$ - $\text{Fe}_2\text{O}_3$ 의  $(001)_{\text{hex}}$ ,  $[100]_{\text{hex}}$ 와 평행한 3차원적인 topotaxy 형으로 구조변화하는 것을 STEM의 전자현미경사진 및 SADP(Selected Area Diffraction Pattern)로 확인하였다.

#### ABSTRACT

The precipitate of  $\text{FeCl}_2 \cdot 4\text{H}_2\text{O}$  and  $\text{NaOH}$ ,  $\text{Fe}(\text{OH})_2$  was rapidly made to oxidize by  $\text{H}_2\text{O}_2$  to prepare  $\delta$ -FeOOH. The particle size, surface and morphology of  $\delta$ -FeOOH, and the shape and structure of thermally decomposed  $\delta$ -FeOOH were investigated by the use of high resolution STEM.  $\delta$ -FeOOH prepared under the condition of reaction temperature of  $\text{Fe}(\text{OH})_2$  at  $40^\circ\text{C}$ ,  $[\text{OH}^-]/[\text{Fe}^{2+}] = 5$  and aging time of 2 hr  $\text{Fe}(\text{OH})_2$ , had  $630\text{\AA}$  mean particle size, 4~5 aspect ratio, 20.8emu/g saturation magnetization and 210 Oe coercivity. The edges of  $\delta$ -FeOOH were inclined to (001) about  $41^\circ$ ,  $60^\circ$  and coincident with (102), (101) respectively. When  $\delta$ -FeOOH was thermally decomposed at  $250^\circ\text{C}$  for 2 hr *in vacuo*, which had micropores of 0.9 nm thickness and crystallites of 2.4 nm thickness.  $(001)_{\text{hex}}$ ,  $[1\bar{1}0]_{\text{hex}}$  of  $\delta$ -FeOOH parallel with  $(001)_{\text{hex}}$ ,  $[100]_{\text{hex}}$  of  $\alpha$ - $\text{Fe}_2\text{O}_3$  respectively. This showed three dimensional topotaxial structure transition, which was investigated by SADP (Selected Area Diffraction Pattern) of STEM.

#### 1. 서 론

4종류의 수산화 철(III) 산화물중의 하나인  $\delta$ -FeOOH는  $\alpha$ -FeOOH,  $\beta$ -FeOOH 그리고  $\gamma$ -FeOOH와는 몇가지 다른 성질을 나타낸다. 예로서  $\delta$ -FeOOH입자는 상온에서 강자성 거동을 나타내고, 반면에 나머지는 반자성 거동을 나타낸다<sup>1)</sup>. 또한  $\alpha$ -FeOOH와  $\beta$ -FeOOH는 연속반응으로서 출발고상의 용해후 생성고상의 핵생성 그리고 그 성장

과정을 거치는 용해석출반응으로 생성되지만<sup>2)</sup>  $\delta$ -FeOOH는  $\alpha$ -FeOOH와  $\beta$ -FeOOH와는 달리  $\text{Fe}(\text{OH})_2$ 입자의 topotaxial 산화반응에 의하여 생성된다<sup>3)</sup>. Okamoto는  $\delta$ -FeOOH에서  $\text{Fe}^{4+}$ 이온이  $\text{Co}^{2+}$ 나  $\text{Mn}^{2+}$ 이온과 같은 2가금속과 쉽게 교환될 수 있다는 것을 발견하였다<sup>4)</sup>. 이것은 원하는 다른 금속이나 원자들이 균일하게 채가된  $\delta$ -FeOOH의 열처리나 환원에 의해 산화물이나 금속 입자들이 제조될 수 있다는 것을 의미한다.

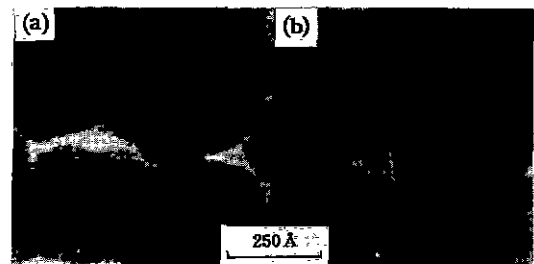
**Table 1.** Properties of  $\delta$ -FeOOH Prepaed at Reaction Temperature 40°C, Molar Ratio  $[OH^-]/[Fe^{2+}] = 5$  and Aging Time of  $Fe(OH)_2$  2 hr.

Powder	Mean particle size ( $\text{\AA}$ )	Aspect ratio	$\sigma_a$ (emu/g)	$iH_c$ (Oe)
$\delta$ -FeOOH	630	4~5	20.8	210

한편  $\alpha$ -FeOOH를 출발물질로 한 침상 Ba-ferrite의 제조<sup>5</sup>나  $\beta$ -FeOOH를 출발물질로 한  $\beta$ - $Fe_2O_3$ 의 제조<sup>6</sup>를 비롯하여  $\alpha$ -FeOOH,  $\gamma$ -FeOOH 그리고  $\beta$ -FeOOH 등에 대한 상의 표면이나 pore구조 및 그 열분해 등등<sup>7-11</sup>  $\alpha$ -FeOOH,  $\beta$ -FeOOH 그리고  $\gamma$ -FeOOH 등에 대한 연구는 많으나  $\delta$ -FeOOH상의 표면 및 형태 그리고 그 열분해 산물의 구조 및 형태상의 특징에 대한 연구는 적었다. 따라서 본 연구에서는 고배율의 주사 투과 전자현미경을 사용하여  $Fe(OH)_2$ 를  $H_2O_2$ 로 급격히 산화시켜 제조한  $\delta$ -FeOOH상의 입자크기, 표면, 형태 및 그 열분해 산물의 구조 및 형태 등을 조사하였다.

## 2. 실험

$\delta$ -FeOOH는 다음의 것을 포함하여 여러가지 방법에 의해 제조될 수 있다<sup>3</sup>. 예로서 첫째,  $Fe(OH)_2$ 의 혼탁액에 산소를 급격히 불어 넣는 방법, 둘째, 수용액에서  $Fe(OH)_2$ 를  $H_2O_2$ 로 급격히 산화시키는 방법, 세째, 건조한  $Fe(OH)_2$ 를 산소에 노출시키는 방법 등이 있다. 본 실험에서는 두번째 방법을 사용하여  $\delta$ -FeOOH를 제조하였다. 즉 미리 탈산소한 증류수에 2 l/min의 질소를 불어 넣으면서 0.4 M  $FeCl_2 \cdot 4H_2O$  수용액 400 ml와 2 M NaOH 수용액 400 ml를 혼합하였다. 수용액의 온도 40°C에서 공침시켜 만든  $Fe(OH)_2$ 를 2 hr 동안 숙성시킨 뒤 질소를 잠그고 30%  $H_2O_2$  50 ml를  $Fe(OH)_2$  혼탁액에 넣어 이를 급격히 산화시키고 다시  $H_2O_2$  25 ml를 넣어  $\delta$ -FeOOH침전물을 얻었다. 그리고 침전시 잔존해 있는 염을 제거하기 위하여 60°C 더운물로 충분히 수세한 후 여과시켜 상온,  $P_2O_5$ 하에서 히트동안 건조시켜  $\delta$ -FeOOH 분말을 얻었다. 또한 제조한  $\delta$ -FeOOH의 열분해과정을 조사하기 위하여  $\delta$ -FeOOH 분말을 상온 ~250°C 범위의 여러 온도에서 각각 2 hr 동안 진공 열처리하였다. 제조된  $\delta$ -FeOOH와 열분해된  $\delta$ -FeOOH의 상동점을 위하여 XRD(X-ray Diffractometer; Rigaku)로 회절조건은  $CuK\alpha$ (Ni-filtered), 40 kV-20 mA, scan speed 4°(2θ)/min, cps 1000으로 행하였다. VSM(LDJ Model 9500)으로  $\delta$ -FeOOH의 자기적 특성을 조사하였으며,  $\delta$ -FeOOH의 열분해과정을 조사하기 위하여 TG(MAC Science Co., TG-

**Fig. 1.** Bright-field image of paired  $\delta$ -FeOOH particles viewed edge-on.

DTA2000) 및 DSC(MAC Science Co., DSC3100)을 사용하였다. 또한 주사투과전자현미경(STEM, Philips CM 20T, 가속전압 200 kV, 카메라길이 700 mm) 사진 및 제한시야회절패턴(SADP; Selected Area Diffraction Pattern)으로  $\delta$ -FeOOH가  $\alpha$ -FeOOH를 거쳐  $\alpha$ - $Fe_2O_3$ 로 열분해 되는 과정을 조사하였다.

## 3. 결과 및 고찰

### 3.1. $\delta$ -FeOOH 분말의 특성

$\delta$ -FeOOH 제조시  $H_2O_2$ 로  $Fe(OH)_2$ 를 산화시키면 유백색이 적갈색으로 변하면서 격렬한 발열반응이 일어난다. 이 때문에 산화과정에서 홀리넘치는 것을 방지하기 위해  $H_2O_2$ 를 두번 나누어 넣었다. 이때 발열반응으로 수용액의 온도는 13~14°C 증가하였다.

Table 1은  $Fe(OH)_2$ 의 공침시 수용액의 온도가 40°C이고,  $[OH^-]/[Fe^{2+}]$ 의 몰비가 5이고, 산화시키기 전  $Fe(OH)_2$  숙성시간을 2 hr로 했을 때 제조된  $\delta$ -FeOOH의 분말 특성을 요약한 것이다. 평균입경이 630  $\text{\AA}$ , aspect ratio가 4~5, 포화자화가 20.8 emu/g 그리고 보자력이 210 Oe를 나타내었다.

### 3.2. $\delta$ -FeOOH의 응집형태 및 입자모양

Fig. 1은 전자현미경 분석시  $\delta$ -FeOOH 입자들이 알코올에 분산되었을 때  $\delta$ -FeOOH의 c축이  $\delta$ -FeOOH를 지지하는 carbon film 표면에 평행하게 되어 서로 겹쳐져 있는 것을 보여준다. 하지만 이들 수는 c축이 film 표면에

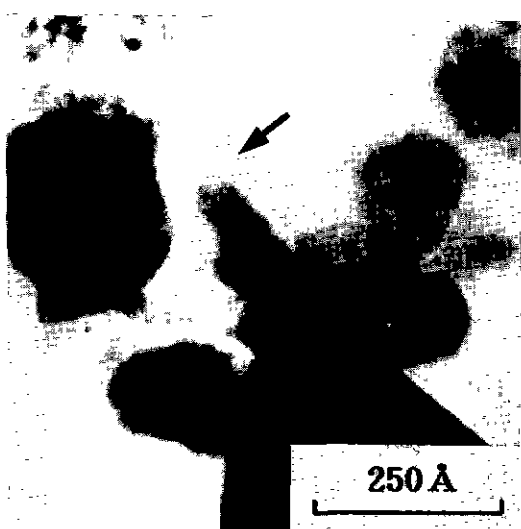


Fig. 2. Bright-field edge-on view of  $\delta$ -FeOOH showing the (001), (102) and (101) lattice planes.

수직인 것보다는 훨씬 적었다. 여기서 각각의 입자들이 서로 겹쳐져 있는 것은 정전기적 힘이나 자기적 힘 때문인 것으로 보인다. 또한 film 표면에 수직인 이러한 입자는 Fig. 2의 주사 투과 전자현미경의 명시야상에서 관찰된 것처럼 화살표와 같은 입자의 모서리 면들(edge facets)을 보여준다. 이 면들은  $\delta$ -FeOOH의 (001)과 41°와 60° 경사져 있는 것을 측정하였는데 이는 각각  $\delta$ -FeOOH의 (102)와 (101)에 해당된다.

### 3.3. $\delta$ -FeOOH의 열분해

Fig. 3은  $\text{Fe(OH)}_2$ 의 공침시 수용액의 온도가 40°C이고,  $[\text{OH}^-]/[\text{Fe}^{2+}]$ 의 몰비가 5이고, 산화시키기 전  $\text{Fe(OH)}_2$ 의 숙성시간을 2 hr으로 해서 제조된  $\delta$ -FeOOH의 열분해 과정을 알아보기 위해 100, 150, 175, 200 및 250°C에서 각각 2 hr 동안 진공 열처리한 시료의 XRD 패턴이다. 100°C 이하에서 열처리된 시료의 패턴은  $\delta$ -FeOOH의 회절peaks를 나타내었다. 또한 150°C에서 열처리되었을 때  $\alpha$ -FeOOH가 나타났고,  $\alpha$ - $\text{Fe}_2\text{O}_3$ 는 200°C 이상에서 나타났다. 이는  $\delta$ -FeOOH상과  $\alpha$ - $\text{Fe}_2\text{O}_3$ 상 사이의 밀접한 구조적 관계 때문이었다<sup>12)</sup>. 하지만  $\delta$ -FeOOH와  $\alpha$ - $\text{Fe}_2\text{O}_3$ 상 사이의 XRD 패턴의 유사성 때문에 DSC와 TG측정에 의해 분해의 정도가 평가되었다.

Fig. 4은 승온속도 1°C/min으로 측정한  $\delta$ -FeOOH의 DSC곡선을 나타낸 것이고, Fig. 5는  $\delta$ -FeOOH를 각각 150, 200, 250 및 850°C에서 각각 2 hr씩 진공 열처리한 시료를 승온속도 5°C/min으로 측정한 TG곡선들이다. Fig.

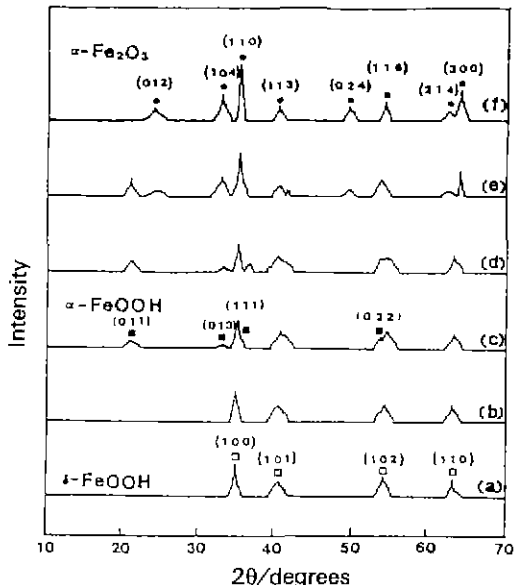


Fig. 3. XRD patterns of the samples treated in vacuo at different temperatures for 2 hr; (a) Original, (b) 100, (c) 150, (d) 175, (e) 200, (f) 250°C.

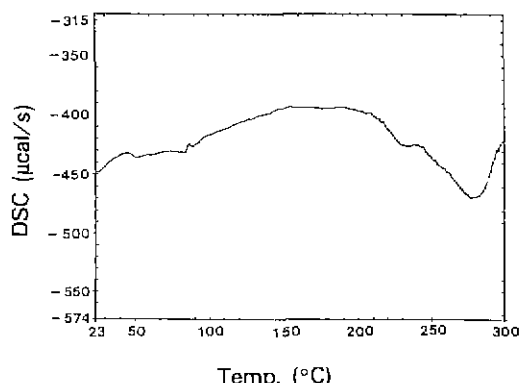


Fig. 4. DSC curve of  $\delta$ -FeOOH at heating rate 1°C/min.

5에 나타난 것처럼 150~250°C 사이의 상당한 중량감소를 볼 수 있으며 이는 OH기의 방출로  $\delta$ -FeOOH가  $\alpha$ - $\text{Fe}_2\text{O}_3$ 로 상당히 전이가 된 것을 보여준다. 하지만 승온 속도를 다르게 하면서 DSC 및 TG측정을 하였으나, 보고된 것<sup>13)</sup>과 같이 90°C와 200°C 사이에서 일어나는 명확한 차이, 즉 표면 흡착수의 탈수와 OH기의 방출로 인한 중량감소를 구분할 수 없었으며 보고된 것보다 높은 온도에서 Fig. 4와 Fig. 5에 나타나 있는 것처럼 이와같은 중량감소를 보이고 있다. 이는  $\delta$ -FeOOH의 열분해 과정이  $\delta$ -FeOOH를 제조하는 과정 및  $\delta$ -FeOOH의 결정도에

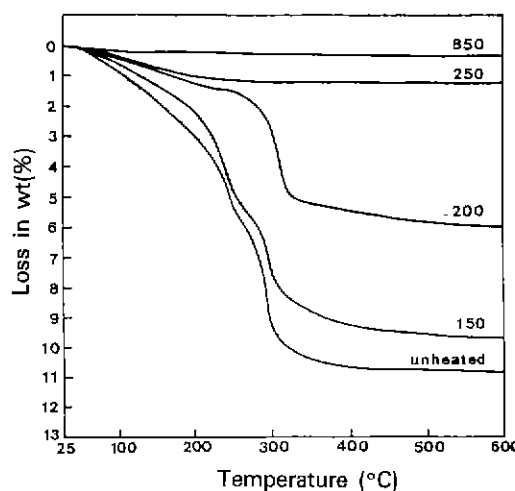


Fig. 5. Loss in wt(%) of  $\delta$ -FeOOH with thermal decomposition temperature of  $\delta$ -FeOOH.

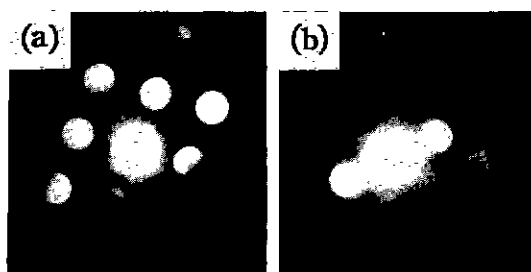


Fig. 6. CBED(Convergent Beam Electron Diffraction) of  $\delta$ -FeOOH; zone axis (a) [111], (b) [001] respectively.

따라 차이가 나기 때문인 것으로 생각된다. 이와같이  $\delta$ -FeOOH의 분해과정을 알아보기 위해 XRD, DSC 및 TG 측정을 하였지만  $\delta$ -FeOOH 분해상들의 peaks가 약하고 퍼져 있으며,  $\delta$ -FeOOH의 제조과정 및 결정도에 따른 DSC, TG곡선의 차이로 분해과정의 정확한 해석은 어려웠다. 따라서 본 실험에서는 X-선 회절 data를 지지하고  $\delta$ -FeOOH의 분해과정에서 다양한 상들 사이의 topotactic 관계를 알아보기 위해 고분해능의 주사전자현미경(STEM, Philips CM20T)을 사용하였다. Fig. 6은 전자현미경의 수평성 비임 접자회절 패턴(Convergent Beam Electron Diffraction)으로써 열처리하지 않은 시료의 육각판상 입자는 공간군 P3m1 구조를 가진  $\delta$ -FeOOH상임을 확인하였다. Fig. 7은 열처리하지 않은 시료 및 175, 200 및 250°C에서 각각 2 hr 동안 진공 열처리한 시료의

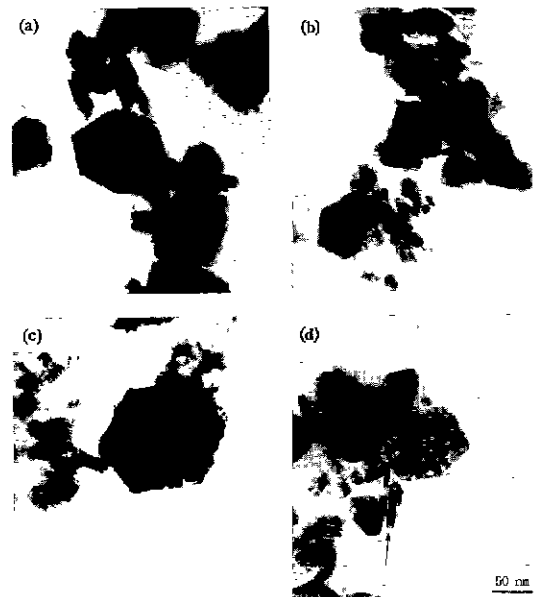


Fig. 7. TEM photographs of the samples treated in vacuo at different temperature for 2 hr; (a) Original, (b) 175, (c) 200, (d) 250°C.

전자현미경 사진이다. 이 사진에 의하면 175°C까지는 열처리하지 않은 시료와 별다른 차이를 보이지 않지만 200°C에서 열처리한 시료는 표면에 약간의 porous한 형태를 나타내며, 250°C에서 열처리한 시료는 열처리하기 전에는 관찰되지 않았던 큰 pore부분을 나타내고 있다. 이것은  $H^+$ 이온들이  $\delta$ -FeOOH상의 표면으로 이동할 때  $OH^-$ 이온들과 결합하여 생성된 물이 channels나 pores를 통해 빠져나가기 때문이다. 즉 전 결정체의 균일한 수축에 의해서리기보다 국부적인 부분에서의 중량감소가 일어나기 때문이며 이것이 pores를 넓하게 되고 동시에  $Fe^{3+}$ 원자는 보다 안정한 위치로 재배열되어 결국  $\alpha$ - $Fe_2O_3$ 가 된다.

Fig. 8은 200°C에서 2 hr 열처리한 시료의 제한시야 회절패턴(Selected Area Diffraction Pattern)을 나타낸 것이다. 이 회절패턴으로부터  $\delta$ -FeOOH의  $(001)_{hex}$ ,  $[1\bar{1}0]_{hex}$ 이 각각  $\alpha$ - $Fe_2O_3$ 의  $(001)_{hex}$ ,  $[100]_{hex}$ 에 평행하며,  $\delta$ -FeOOH가  $\alpha$ - $Fe_2O_3$ 에로의 3차원적인 topotaxy형으로 구조변화하고 있음이 확인되었다. 또한  $\delta$ -FeOOH는 Fig. 7 (d)의 화살표 수직방향으로의 실측에 의하면 250°C, 2 hr 진공 열처리에 의해 0.9 nm 두께의 pores와 2.4 nm 두께의 결정을 가지는 microporous texture 구조를 가지는  $\alpha$ - $Fe_2O_3$ 로 열분해하는 것을 알 수 있다. Fig. 6의 회절패턴과

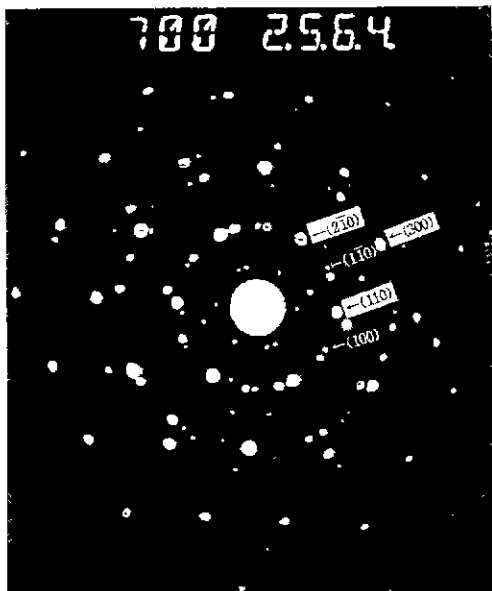


Fig. 8. SADP(Selected Area Diffraction Pattern) of  $\delta$ -FeOOH thermal treated *in vacuo* at 200°C for 2 hr; zone axis of  $\delta$ -FeOOH and  $\alpha$ - $\text{Fe}_2\text{O}_3$  [001] samely; (hkl) :  $\delta$ -FeOOH, (hkl) :  $\alpha$ - $\text{Fe}_2\text{O}_3$ .

Fig. 7(d)를 토대로하여 Fig. 8에서는  $\delta$ -FeOOH와 micro-porous texture를 가지는  $\alpha$ - $\text{Fe}_2\text{O}_3$ 와의 topotactic 관계를 나타내었다.

#### 4. 결 론

$\text{FeCl}_2 \cdot 4\text{H}_2\text{O}$ 와  $\text{NaOH}$ 의 침전물인  $\text{Fe}(\text{OH})_2$ 를  $\text{H}_2\text{O}_2$ 로 급격히 산화시켜 얻은  $\delta$ -FeOOH를 고배율의 주사전자顯微鏡을 사용하여  $\delta$ -FeOOH상의 입자크기, 표면 및 형태 그리고  $\delta$ -FeOOH 열분해 산물의 형태 및 구조 등을 검토한 결과 다음과 같은 결론을 얻었다.

1.  $\text{Fe}(\text{OH})_2$  반응온도 40°C,  $[\text{OH}^-]/[\text{Fe}^{2+}] = 5$  그리고  $\text{Fe}(\text{OH})_2$  숙성시간 2 hr하에서 제조된  $\delta$ -FeOOH의 평균 입경은 630 Å, aspect ratio가 4~5, 포화자화 및 보자력이 각각 20.8 emu/g, 210 Oe<sup>a</sup>였다.

2.  $\delta$ -FeOOH의 모서리 면은  $\delta$ -FeOOH의 (001)과 약 41°와 60° 경사져 있으며, 이것은 각각  $\delta$ -FeOOH의 (102)와 (101)에 해당된다.

3.  $\delta$ -FeOOH의 (001)<sub>hex</sub>, [110]<sub>hex</sub>는 각각  $\alpha$ - $\text{Fe}_2\text{O}_3$ 의 (001)<sub>hex</sub>, [100]<sub>hex</sub>과 평행한 3차원적인 topotaxy 형으로 구조변화하고 있음을 STEM의 SADP(Selected Area Diffraction Pattern)으로 확인하였다.

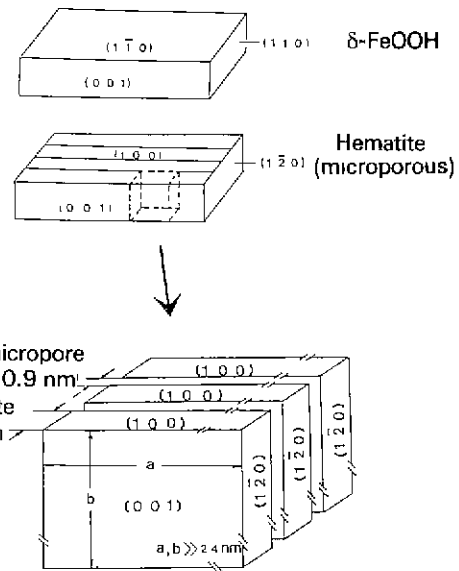


Fig. 9. Topotactic relationship between  $\delta$ -FeOOH crystal and  $\alpha$ - $\text{Fe}_2\text{O}_3$  crystal having a microporous texture.

4.  $\delta$ -FeOOH는 열분해 과정에 따라 차이는 있지만, 250°C에서 2 hr 진공 열처리했을 때 입자크기에는 변화가 없었고, 0.9 nm 두께의 micropore 및 2.4 nm의 결정자두께를 가지는 microporous texture 형상의  $\alpha$ - $\text{Fe}_2\text{O}_3$ 로 열분해되었다.

#### REFERENCES

- M. Pernet, X. Obradors, J. Fontcuberta, J.C. Joubert and J. Tejada, "Magnetic Structure and Supermagnetic Properties of  $\delta$ -FeOOH," *IEEE Trans. Mag.*, **20**(5), 1524-1526 (1984).
- 山口 哲, 柳田博明, "マグネットセラミックス," 岡本祥一, 近桂一郎, pp 219-224, 技報堂出版株式會社, 1984.
- O. Muller, R. Wilson and W. Krakow, " $\delta$ -FeO(OH) and Its Solid Solution," *J. Material Science*, **14**, 2929-2936 (1979).
- 岡本祥一, "各種金属イオンによる  $\delta$ -オキシ水酸化鐵の置換體およびその磁性," 日本工業化學雑誌, **67**(11), 1855-1859 (1964).
- M. Fujita, T. Ueda and N. Hiratssuka, "焼成法による針状バリウムフェライトの作製と磁氣特性," 電子情報通信學會論文誌 C-II, **J75-C-II**(9), 513-518 (1992).
- U.S. Patent No. 3, 947, 502
- H. Naono, K. Nakai, T. Sueyoshi and H. Yagi, "Porous

- Texture in Hematite Derived from Goethite: Mechanism of Thermal Decomposition of Goethite," *J. Colloid Interface Science*, **120**(2), 439-450 (1987).
8. T. Sueyoshi, H. Naono and M. Amemiya, "Morphology of Ultra Fine Iron Particles," *IEEE Trans. Mag.*, **23**(1), 80-82 (1987).
9. H. Naono and K. Nakai, "Thermal Decomposition of  $\gamma$ -FeOOH Fine Particles," *J. Colloid Interface Science*, **128**(1), 146-157 (1989).
10. T. Ishikawa, S. Nitta and S. Kondo, "Fourier-transform Infrared Spectroscopy of Colloidal  $\alpha$ -,  $\beta$ - and  $\gamma$ -FeOOH Oxide Hydroxides," *J. Chem. Soc. Faraday Trans. 1*, **82**, 2401-2410 (1986).
11. H. Naono, R. Fujiwara, H. Sugioka, K. Sumiya and H. Yanazaya, "Micropore Formation Due to Thermal Decomposition of Acicular Microcrystals of  $\beta$ -FeOOH," *J. Colloid Interface Science*, **87**(2), 317-332 (1982).
12. T. Ishikawa, W.Y. Cai and K. Kandori, "Characterization of the Thermal Decomposition Products of  $\delta$ -FeOOH by Fourier-transform Infrared Spectroscopy and  $N_2$  Adsorption," *J. Chem. Soc. Faraday Trans.*, **88**(8), 1173-1177 (1992).
13. J.M.J. Mateos, J. Morales and J.L. Tirado, "Textural Evolution of  $\alpha$ -Fe<sub>2</sub>O<sub>3</sub> Obtained by Thermal and Mechanochemical Decomposition of  $\delta$ -FeOOH," *J. Colloid Interface Science*, **122**(2), 507-513 (1987).